

так и при комнатной температуре (20°C). Магнитное поле $H = 1800 - 2000$ эрст. Оно достаточно для насыщения образца из армко-железа. Сжимающей средой является газ, не затвердевающий при 77°K , 2000 атм. В ^(1, 2) для этой цели употребляли масло.

Схема установки дана на рис. 1. Испытуемый образец 1 — точеный стержень из армко-железа длиной 570 мм, диаметром 5,75 мм*, лежит в камере 3 свободно (зазор между ним и внутренними стенками камеры составляет около 0,2 мм), что позволяет сжимать образец в

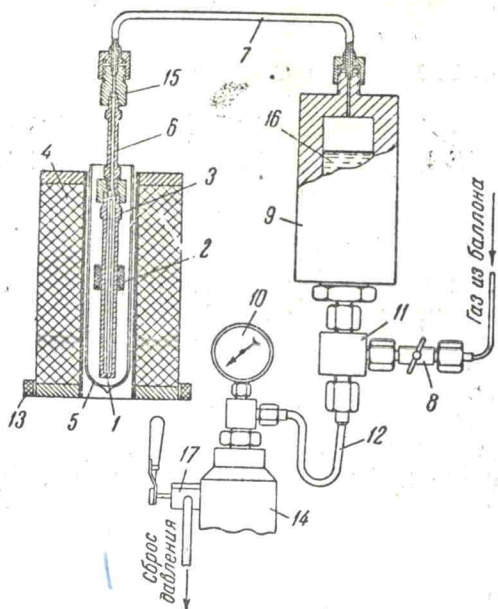


Рис. 1. Схема установки для исследования влияния всестороннего сжатия на намагничение насыщения при низких температурах. 1—образец, 2—измерительная катушка, 3—камера сжатия из неферромагнитной бронзы БрАЖМ, 4—намагничивающая катушка, 5—сосуд Дьюара, 6—переходная трубка, 7—трубка верхняя, 8—вентиль газопуска, 9—цилиндр поджимки, 10—манометр, 11—тройник, 12—трубка нижняя, 13—компенсирующая катушка, 14—гидрокомпрессор, 15—переходник, 16—трансформаторное масло, 17—вентиль

сторонне. Высокое давление в камере достигается уменьшением первоначального объема газа в полости установки при нагнетании гидро-компрессором 14 трансформаторного масла 16 в цилиндр поджимки 9 по трубке 12. Камера с образцом и измерительной катушкой K_2 , надетой на камеру **, погружена в дьюаров сосуд 5 с жидким азотом.

Принципиальная схема электроизмерительной части установки дана на рис. 2. Намагничающее поле H внутри намагничающего соленоида K_n создается постоянным током до $i_{\max} = 20$ амп; $H_{\max} = Ki_{\max} = 2440$ эрст.

Измерительная цепь состоит из K_i , K_k , R_w и ΦL (рис. 2). K_i и K_k включены навстречу друг другу для устранения помех, связанных с

* Образец отожжен в водороде при 1340°C в течение 15 мин., затем нагрет в вакууме до 900°C, после чего охлажден вместе с печью.

** В (2) измерительная катушка помещена внутрь камеры.

420

изменением поля при колебании светового зайчика в наряду с изменением магнитного поля, наблюдается также ленное главным образом изменением момента нити под действием «сползания» зайчика про- обычной градуировкой фланца при этом поток меняется, с определенной скоростью 20 и -196°C используют измерительные катушки соответственно, $n_1 = 3960$ и $n_2 = 1000$ ввиду того, что сопротивление цепи флюксметра должно быть малым ($< 30 \text{ ом}$) при большом количестве витков.

$$\frac{1}{\psi_0} \frac{d\psi}{dp} \cong \frac{1}{\psi_0} \frac{\Delta\psi}{\Delta p} = \frac{c_\psi}{4\pi I s S_{06p}} n$$

где $\psi_0 = 4\pi I_s S_{\text{обр}}$ максвелл, витков в K_i , α — отклонение метра в делениях, $\Delta p = 1$ мосфера).

Для исследуемого с железа $I_s = 1690$ гаусс, S Из проведенных 22 изме-
дено $(\frac{\alpha}{\Delta \alpha})$; по нему, согл.

$$\left(\frac{1}{\psi_0} \frac{\Delta}{\Delta} \right)$$

и, наконец, согласно (1):

Сравним значение, по формуле для атомног металлов (3):

$$m = 2m$$

где $m_0 = n_d - 2$; n_d — число атомов. Для железа $n_d = 10^24$, расстояния между атомами

* Измерения проводятся вводится газ из баллона до д. поджимки 9 нагнетается масляная выдержка для установления соленоид в сеть постоянного тока для создания $R_{\text{ш}}$ компенсируется изменением током в на рукоятки вентиля 17 плавно p_0 . При этом давление падает скорости можно пренебречь и магнитного потока через обра